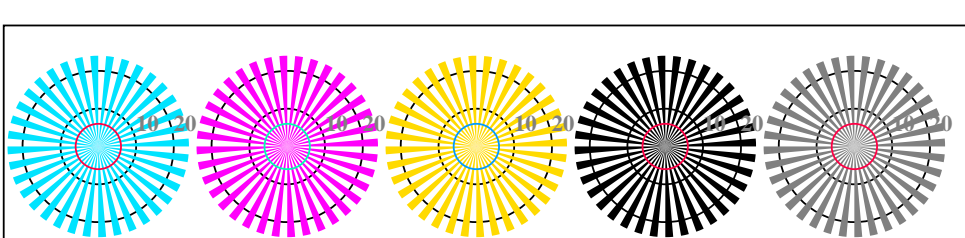


<http://farbe.li.tu-berlin.de/AI26/AI26F0N0.PDF> /PS; linearizzazione 3D, pagine 1/8
F: linearizzazione 3D AI26/AI26LF0N0.PDF /PS nel file (F)

vedi file simili: <http://farbe.li.tu-berlin.de/A126/A126.HTM>
informazioni tecniche: <http://farbe.li.tu-berlin.de/> o <http://farbe.li.tu-berlin.de/>

be.li.tu-berlin.de/AE.HTML

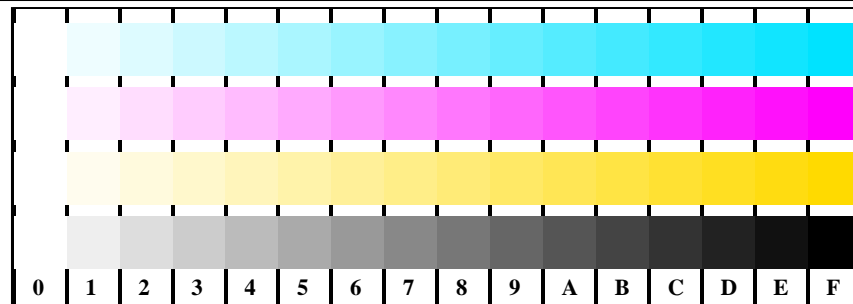


AJ260-5, Fig. B2Wde: reticolli radiali W-Ce; W-Me; W-Je; W-N; PS operator: *rgb->rgb_{de} setrgbcolor*



AI260-7, Fig. B3Wde: 14 prova colori CIE i 2 + 16 grigio passi (sf); *rgb/cmy0->rgb_{de}* setrgbcolor

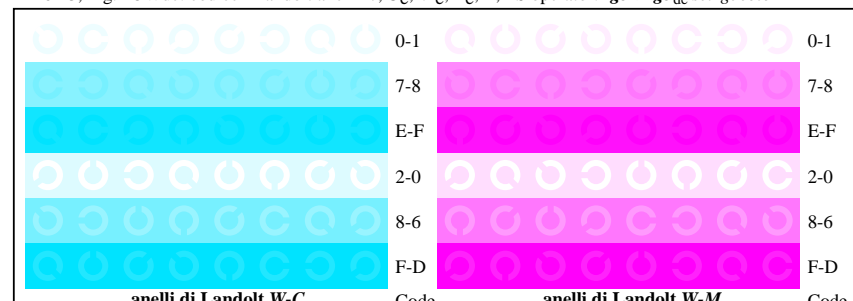
Grafico AI26 conformemente a grafico 2 a ISO/IEC 15775
Tavola dei colori cromatici CMYK



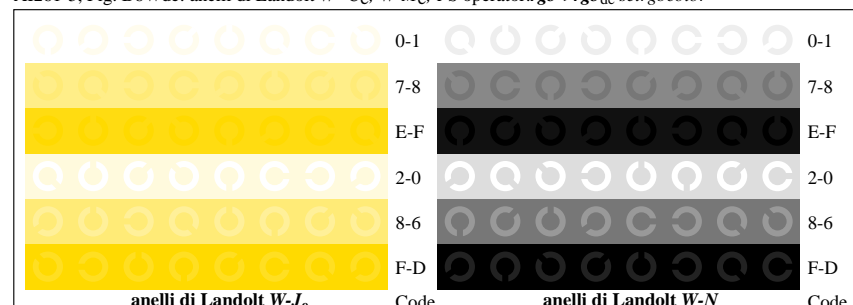
AI261-1, Fig. B4Wde; 16 equidistante passi $W\text{-}C_e$; $W\text{-}M_e$; $W\text{-}J_e$; $W\text{-}N$; $rgb/cm\gamma 0\rightarrow rgb_{de}$ setrgbcolor

$+:-.$						
$xyz;$						
$tuvw$						
$pqrs$						
$lmno$						
$hijk$						
$defg$						
$!abc$						
10						
				6	$N C_e M_e Y_e Z$	
		8	$N C_e M_e Y_e Z$			
						$N C_e M_e Y_e Z$

AI261-3, Fig. B5Wde: codice i Landolt anelli N ; Ce ; Me ; Ye ; Z ; PS operator; $rgb \rightarrow rgb_{da}$ setrgbcolor

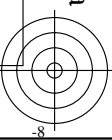


AI261-5, Fig. B6Wde: anelli di Landolt W-C_e; W-M_e; PS operator: *rgb->rgb_{de}* setrgbcolor



AI261-7, Fig. B7Wde: anelli di Landolt W-J_e; W-N; PS operator:rgb->rgb_{de} setrgbcolor

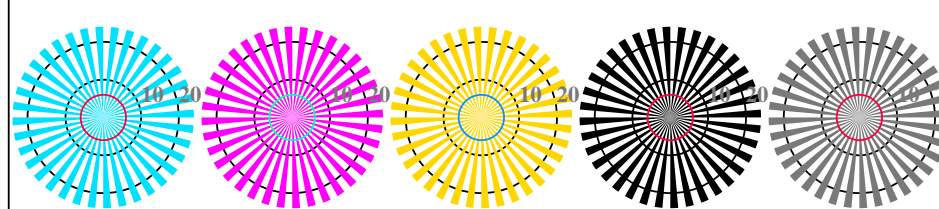
Input: *rgb/cmy0/000n/w set...*
Output: *->rgb_{de} setrgbcolor*



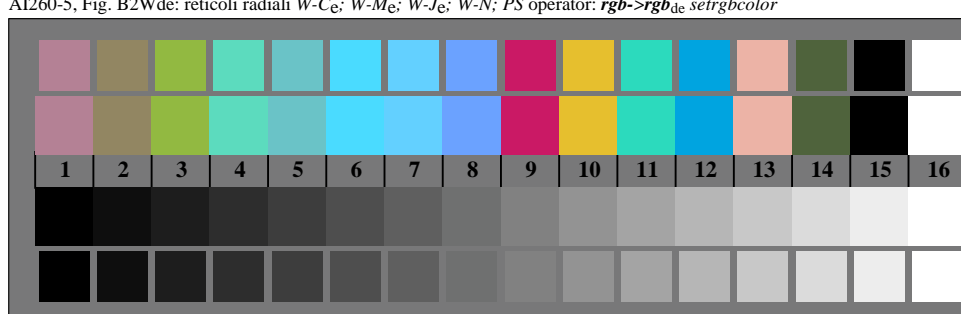
iscrizione TUB: 20190301-AI26/AI26L0FA.TXT/.PS
 Application per la misura dell'output di display et output di stampa

TUB materiale: code=rha4ta

vedi file simili: <http://farbe.li.tu-berlin.de/AI26/AI26.HTM>
 informazioni tecniche: <http://farbe.li.tu-berlin.de/o http://farbe.li.tu-berlin.de/AE.HTM>



AI260-5, Fig. B2Wde: reticolli radiali $W-C_e$; $W-M_e$; $W-J_e$; $W-N$; PS operator: $rgb \rightarrow rgb_{de}$ setrgbcolor

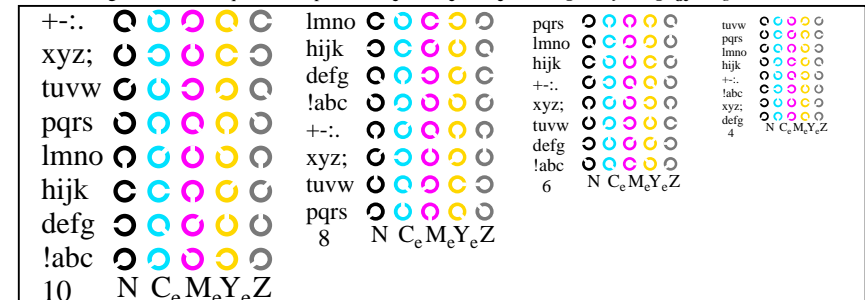


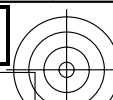
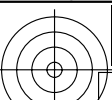
AI260-7, Fig. B3Wde: 14 prova colori CIE i 2 + 16 grigio passi (sf); $rgb/cmy0 \rightarrow rgb_{de}$ setrgbcolor

Grafico AI26 conformemente a grafico 2 a ISO/IEC 15775
 Tavola dei colori cromatici CMYK

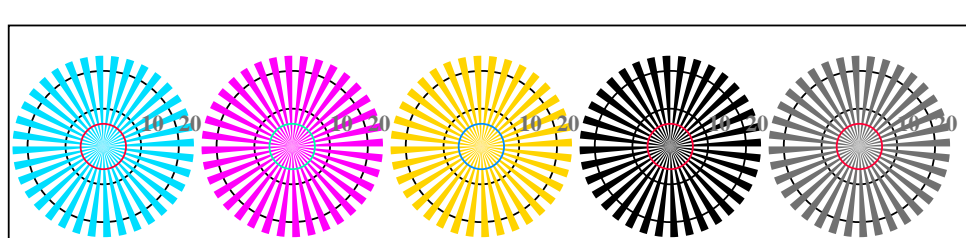


AI261-1, Fig. B4Wde: 16 equidistante passi $W-C_e$; $W-M_e$; $W-J_e$; $W-N$; $rgb/cmy0 \rightarrow rgb_{de}$ setrgbcolor



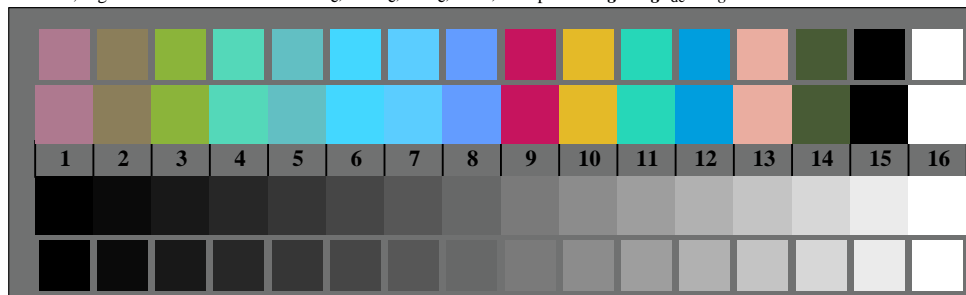


vedi file simili: <http://farbe.li.tu-berlin.de/AI26/AI26.HTML>
 informazioni tecniche: <http://farbe.li.tu-berlin.de/o http://farbe.li.tu-berlin.de/AE.HTML>



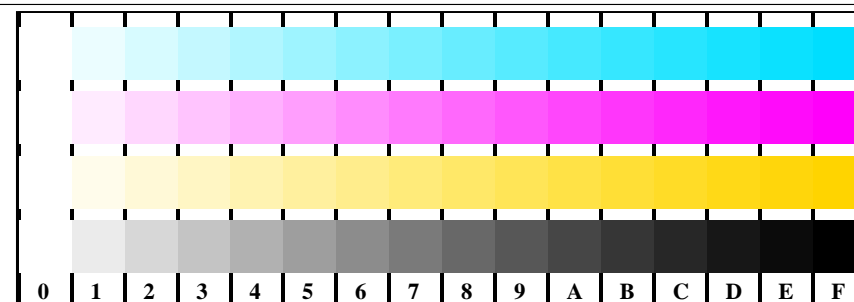
reticolli radiali W-C_e reticolli radiali W-M_e reticolli radiali W-J_e reticolli radiali W-N reticolli radiali W-Z

AI260-5, Fig. B2Wde: reticolli radiali W-C_e; W-M_e; W-J_e; W-N; PS operator: *rgb->rgb_{de} setrgbcolor*



AI260-7, Fig. B3Wde: 14 prova colori CIE i 2 + 16 grigio passi (sf); *rgb/cmy0->rgb_{de} setrgbcolor*

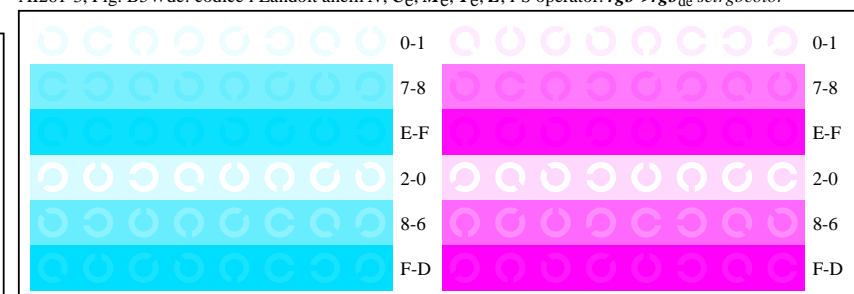
Grafico AI26 conformemente a grafico 2 a ISO/IEC 15775
 Tavola dei colori cromatici CMYK



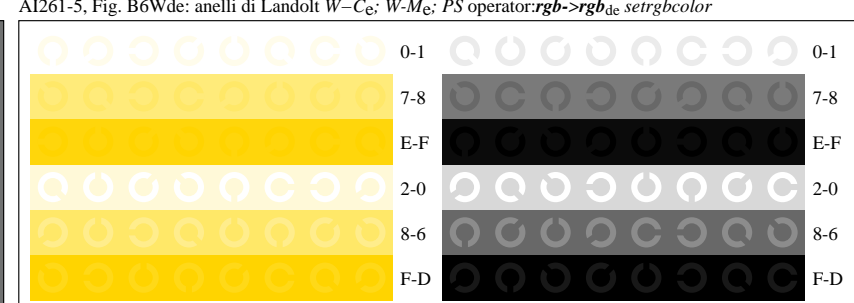
AI261-1, Fig. B4Wde: 16 equidistante passi W-C_e; W-M_e; W-J_e; W-N; *rgb/cmy0->rgb_{de} setrgbcolor*

++..	C	lmno	C	pqr	O	tuvw	O	tuvw	O	tuvw	O	tuvw	O	tuvw	O	tuvw
xyz;	O	hijk	O	lmno	O	lmno	O	lmno	O	lmno	O	lmno	O	lmno	O	lmno
tuvw	O	defg	O	defg	O	hijk	O	hijk	O	hijk	O	hijk	O	hijk	O	hijk
pqrs	O	!abc	O	!abc	O	!abc	O	!abc	O	!abc	O	!abc	O	!abc	O	!abc
lmno	O	xyz;	O	xyz;	O	xyz;	O	xyz;	O	xyz;	O	xyz;	O	xyz;	O	xyz;
hijk	O	tuvw	O	tuvw	O	tuvw	O	tuvw	O	tuvw	O	tuvw	O	tuvw	O	tuvw
defg	O	pqrs	O	pqrs	O	pqrs	O	pqrs	O	pqrs	O	pqrs	O	pqrs	O	pqrs
!abc	O	O	O	O	O	O	O	O	O	O	O	O	O	O	O	O
10	N	N	N	N	N	N	N	N	N	N	N	N	N	N	N	N
	C _e	M _e	Y _e	Z		C _e	M _e	Y _e	Z		C _e	M _e	Y _e	Z		C _e

AI261-3, Fig. B5Wde: codice i Landolt anelli N; C_e; M_e; Y_e; Z; PS operator: *rgb->rgb_{de} setrgbcolor*



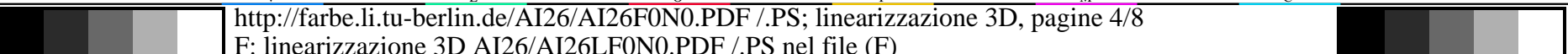
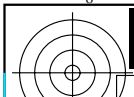
AI261-5, Fig. B6Wde: anelli di Landolt W-C_e; W-M_e; PS operator: *rgb->rgb_{de} setrgbcolor*



AI261-7, Fig. B7Wde: anelli di Landolt W-J_e; W-N; PS operator: *rgb->rgb_{de} setrgbcolor*

Input: *rgb/cmy0/000n/w set...*
 Output: *->rgb_{de} setrgbcolor*



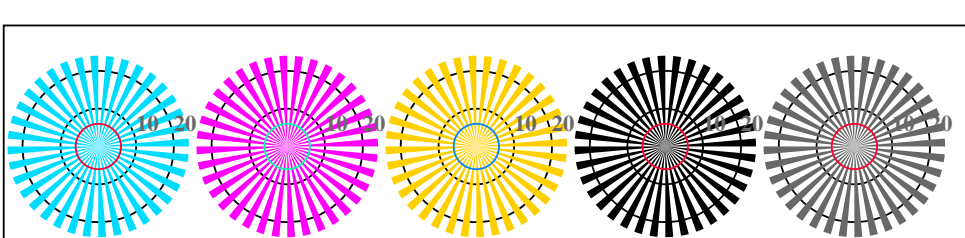


<http://farbe.li.tu-berlin.de/AI26/AI26F0N0.PDF> /PS; linearizzazione 3D, pagine 4/8
F: linearizzazione 3D AI26/AI26LF0N0.PDF /PS nel file (F)

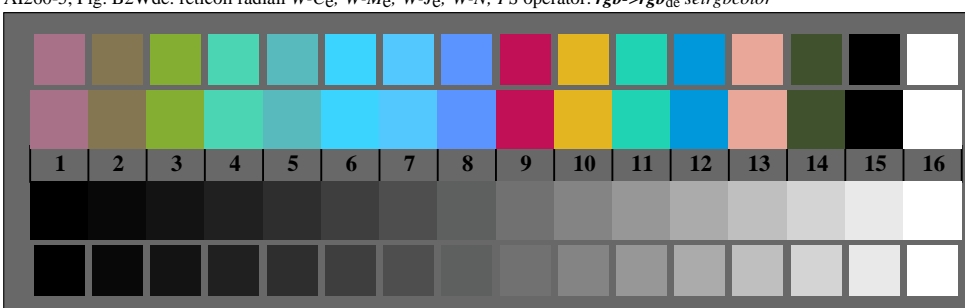
F: linearizzazione 3D AI26/AI26LF0N0.PDF /.PS nel file (F)

vedi file simili: <http://farbe.li.tu-berlin.de/AI26/AI26.HTML>
informazioni tecniche: <http://farbe.li.tu-berlin.de/> o <http://farbe.li.tu-berlin.de/>

arbe.li.tu-berlin.de/AE.HTM

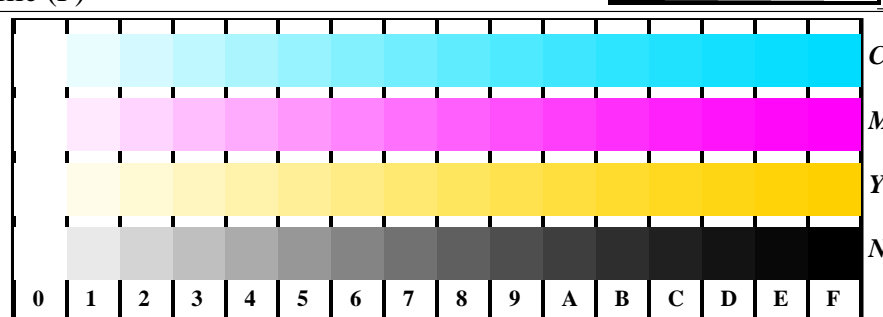


AI260-5 Fig. B2Wde: reticoli radiali W_C ; W_M ; W_I ; W_N ; PS operator; $rgh \rightarrow rgh$; setrabcolor



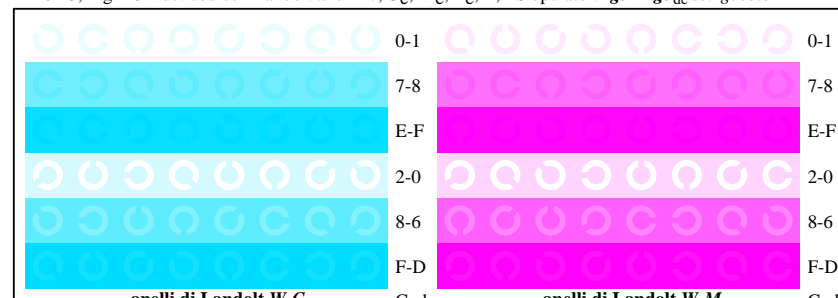
AI260-7, Fig. B3Wde: 14 prova colori CIE i 2 + 16 grigio passi (sf); $rgb/cmy0->rgb_{de}$ setrgbcolor

Grafico AI26 conformemente a grafico 2 a ISO/IEC 15775
Tavola dei colori cromatici *CMYK*

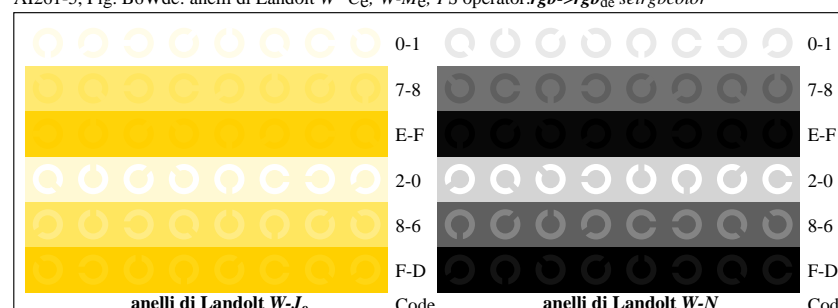


AI261-1, Fig. B4Wde: 16 equidistanti passi $W-C_e$; $W-M_e$; $W-J_e$; $W-N$; $rgb/cmy0->rgb_{de}$ setrgbcolor

AI261-3, Fig. B5Wde: codice i Landolt anelli N ; C_e ; M_e ; Y_e ; Z ; PS operator; $rgb \rightarrow rgb_{de}$ setrgbcolor

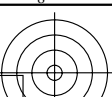


AI261-5 Fig. B6Wde: anelli di Landolt W-C_e; W-M_e; PS operator: *rab->rab*; *setrabhcolor*



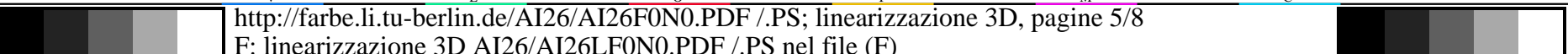
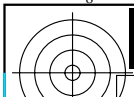
AI261-7, Fig. B7Wde: anelli di Landolt W-J_e; W-N; PS operator:`rgb->rgbde` setrgbcolor

Input: *rgb/cmy0/000n/w* set...
Output: ->*rgbde* set*rgbcOLOR*



iscrizione TUB: 20190301-A126A126L0FA.TXTPS
Application per la misura dell'output di display et output di stampa

TÜB materiale: code=rha4ta
umpa

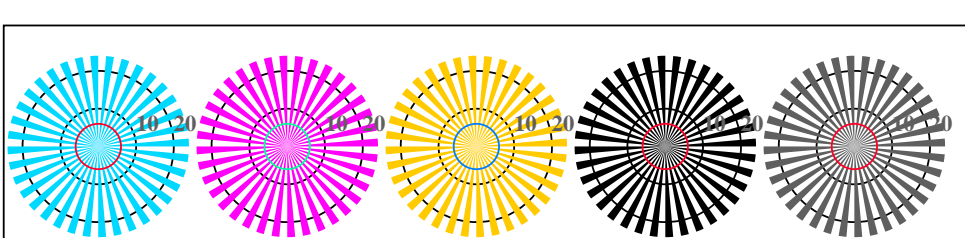


<http://farbe.li.tu-berlin.de/AI26/AI26F0N0.PDF> /PS; linearizzazione 3D, pagine 5/8
F: linearizzazione 3D AI26/AI26LF0N0.PDF /PS nel file (F)

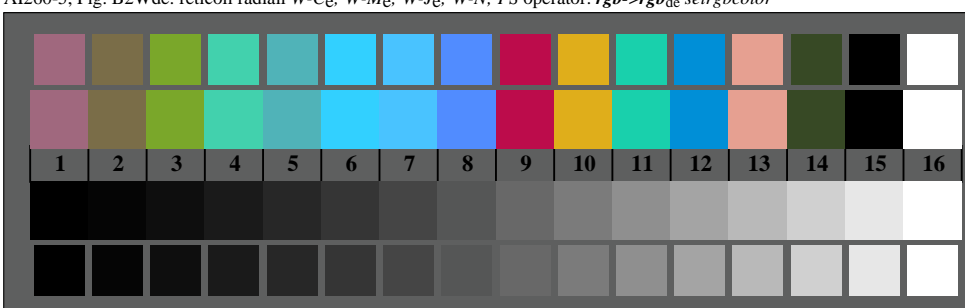
F: linearizzazione 3D AI26/AI26LF0N0.PDF /.PS nel file (F)

vedi file simili: <http://farbe.li.tu-berlin.de/AI26/AI26.HTML>
informazioni tecniche: <http://farbe.li.tu-berlin.de/> o <http://farbe.li.tu-berlin.de/>

arbe.li.tu-berlin.de/AE.HTM

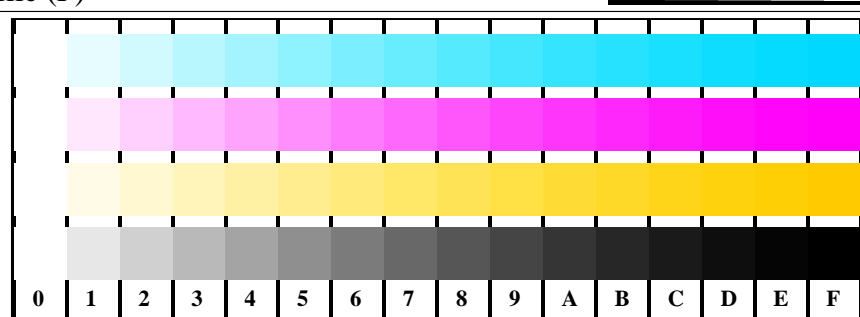


AI260-5 Fig. B2Wde: reticoli radiali W_C ; W_M ; W_I ; W_N ; PS operator; $rgh \rightarrow rgh$; setrabcolor



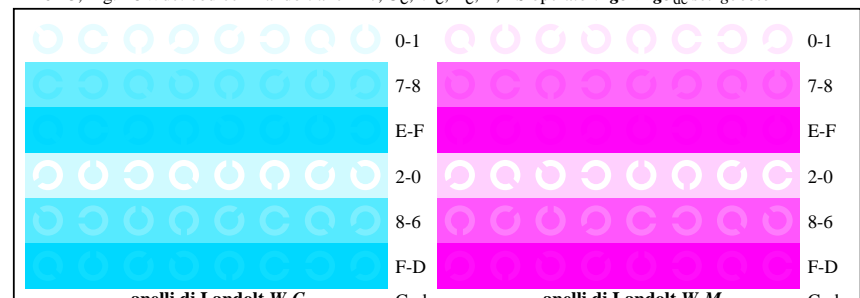
AI260-7, Fig. B3Wde: 14 prova colori CIE i 2 + 16 grigio passi (sf); $rgb/cmy0->rgb_{de}$ setrgbcolor

Grafico AI26 conformemente a grafico 2 a ISO/IEC 15775
Tavola dei colori cromatici *CMYK*

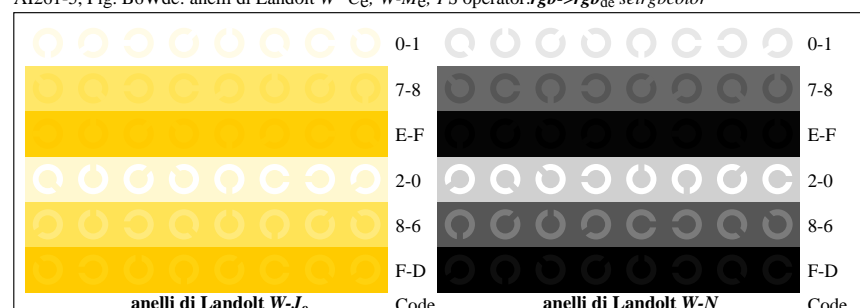


AI261-1, Fig. B4Wde: 16 equidistanti passi $W-C_e$; $W-M_e$; $W-J_e$; $W-N$; $rgb/cmy0->rgb_{de}$ setrgbcolor

AI261-3, Fig. B5Wde: codice i Landolt anelli N ; C_e ; M_e ; Y_e ; Z ; PS operator; $rgb \rightarrow rgb_{de}$ setrgbcolor

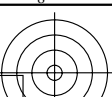


AI261-5, Fig. B6Wde: anelli di Landolt W-C_e; W-M_c; PS operator: rgh->rgh; setrgbcolor



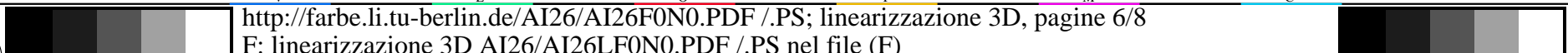
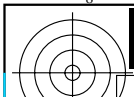
AI261-7, Fig. B7Wde: anelli di Landolt W-J_e; W-N; PS operator:rgb->rgb_{de} setrgbcolor

Input: *rgb/cmy0/000n/w* set...
Output: ->*rgbde* set*rgbcolor*



iscrizione TUB: 20190301-A126/A126L0F.A.TX / PS
Application per la misura dell'output di display et output di stampa

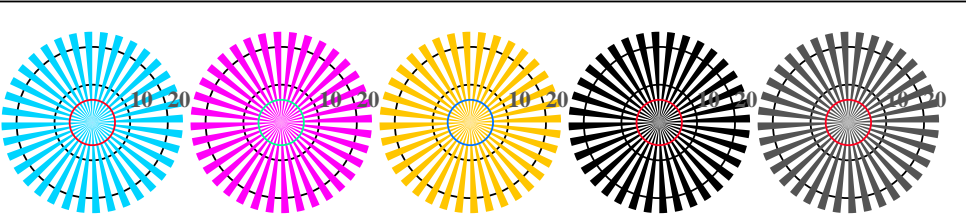
TÜB materiale: code=rha4ta
ampa



<http://farbe.li.tu-berlin.de/AI26/AI26F0N0.PDF> /PS; linearizzazione 3D, pagine 6/8
F: linearizzazione 3D AI26/AI26LF0N0.PDF /PS nel file (F)

vedi file simili: <http://farbe.li.tu-berlin.de/A126/A126.HTM>
informazioni tecniche: <http://farbe.li.tu-berlin.de/> o <http://farbe.li.tu-berlin.de/>

be.li.tu-berlin.de/AE.HTML

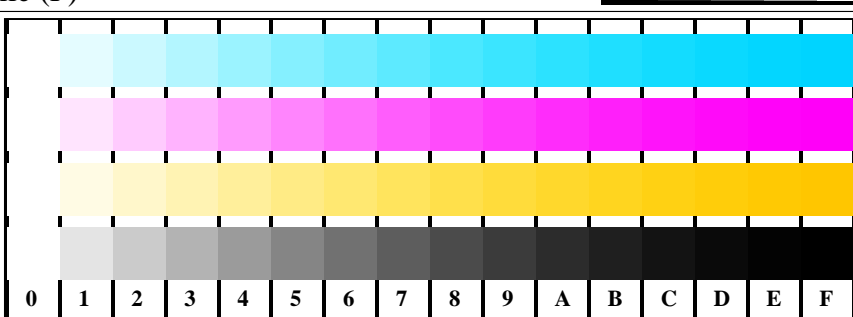


AI260-5 Fig. B2Wde: reticoli radiali $W-C_2$; $W-M_2$; $W-J_2$; $W-N$; PS operator: $rab \rightarrow rgh$; setrabcolor



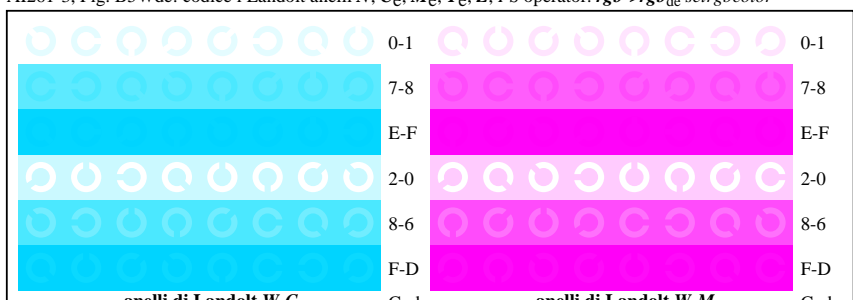
AI260-7, Fig. B3Wde: 14 prova colori CIE i 2 + 16 grigio passi (sf); $rgb/cm\gamma 0->rgb_{de}$ setrgbcolor

Grafico AI26 conformemente a grafico 2 a ISO/IEC 15775
Tavola dei colori cromatici CMYK

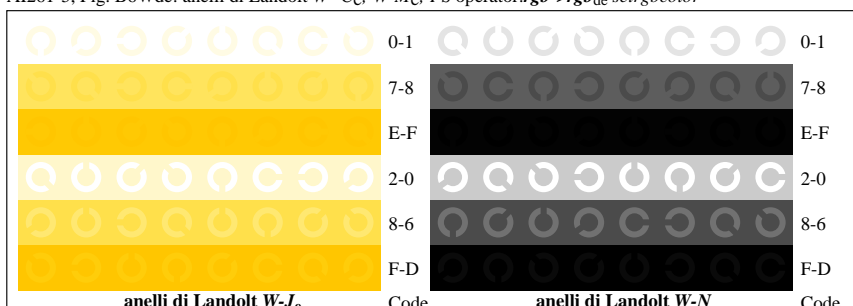


AI261-1, Fig. B4Wde: 16 equidistante passi $W-C_e$; $W-M_e$; $W-J_e$; $W-N$; $rgb/cmy0->rgb_{de}$ setrgbcolor

AI261-3 Fig. B5Wde: codice i Landolt anelli N; C₀; M₀; Y₀; Z; PS operator; rgh->rgh+, setrghcolor



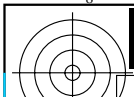
AI261-5, Fig. B6Wde: anelli di Landolt W-C_e; W-M_c; PS operator: rgh->rgh; setrgbcolor



AI261-7, Fig. B7Wde: anelli di Landolt $W-J_E$; $W-N$; PS operator: $rgb\rightarrow rgb_{de}$ setrgbcolor

Input: *rgb/cmy0/000n/w* set...
Output: ->*rgbd₀* set*rgbc**olor*

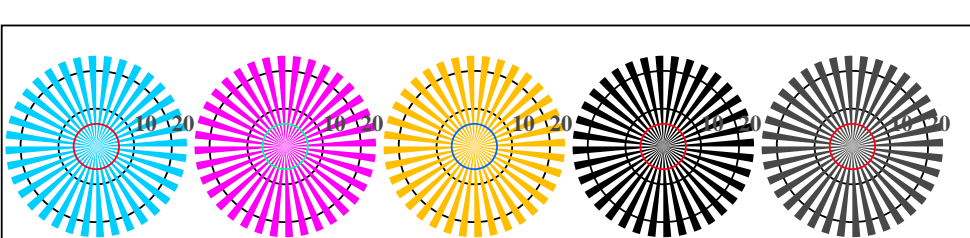




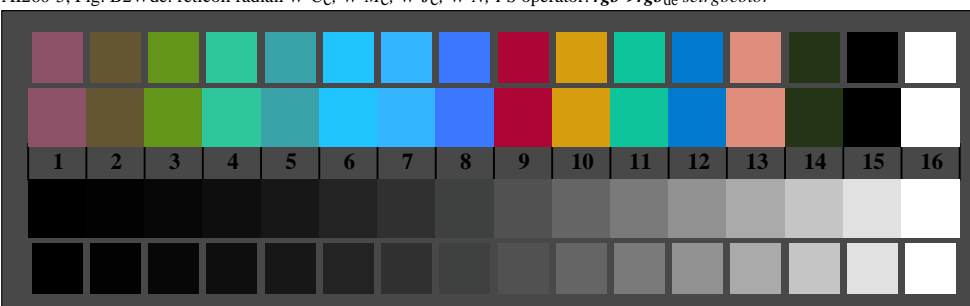
<http://farbe.li.tu-berlin.de/AI26/AI26F0N0.PDF> /PS; linearizzazione 3D, pagine 7/8
F: linearizzazione 3D AI26/AI26LF0N0.PDF /PS nel file (F)

vedi file simili: <http://farbe.li.tu-berlin.de/A126/A126.HTM>
informazioni tecniche: <http://farbe.li.tu-berlin.de/> o <http://farbe.li.tu-berlin.de/>

be.li.tu-berlin.de/AE.HTML

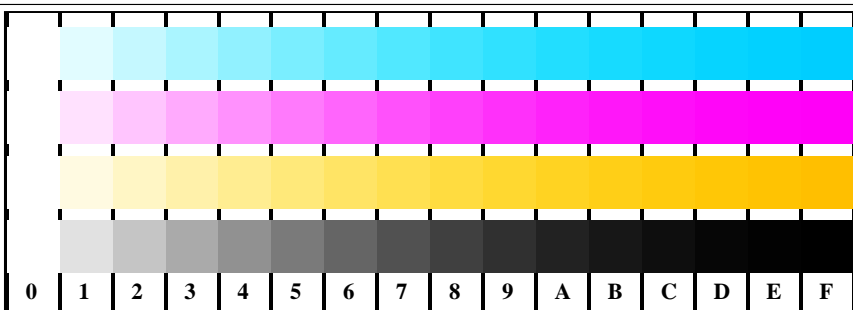


AI260-5 Fig. B2W_{de}; reticoli radiali; W_C ; W_M ; W_L ; W_N ; PS operator; $rah \rightarrow rah$; setarabcolor



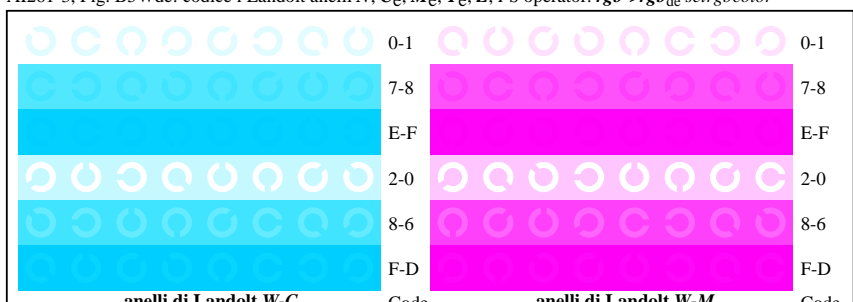
AI260-7, Fig. B3Wde: 14 prova colori CIE i 2 + 16 grigio passi (sf); *rgb/cmy0->rgb_{de}* setrgbcolor

Grafico AI26 conformemente a grafico 2 a ISO/IEC 15775
Tavola dei colori cromatici CMYK

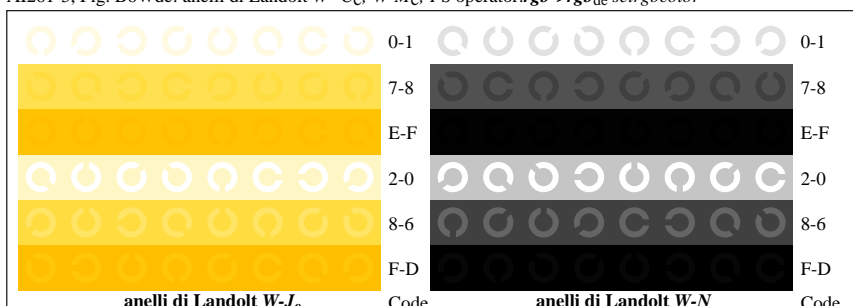


AI261-1, Fig. B4Wde: 16 equidistant passi $W\text{-}Ce$; $W\text{-}Me$; $W\text{-}Je$; $W\text{-}N$; $rgb/cmy0\rightarrow rgb_{de}$ set $rgbcolor$

AI261-3, Fig. B5Wde; codice i Landolt anelli N ; C_0 ; M_0 ; Y_0 ; Z ; PS operator; $reb \rightarrow reb_+$; setrebcolor

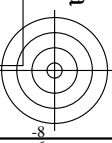


AI?61-5, Fig. B6Wde; anelli di Landolt W-C_e; W-M_a; PS operator:rgb>rgb; setrgbcolor



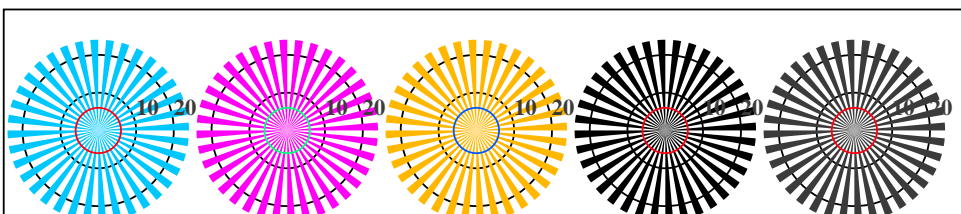
AI261-7, Fig. B7Wde: anelli di Landolt W-J_e; W-N; PS operator:rgb->rgb_{de} setrgbcolor

Input: *rgb/cmy0/000n/w set...*
Output: *->rgbdc setrgbcolor*





vedi file simili: <http://farbe.li.tu-berlin.de/AI26/AI26.HTM>
 informazioni tecniche: <http://farbe.li.tu-berlin.de/o> <http://farbe.li.tu-berlin.de/AE.HTM>



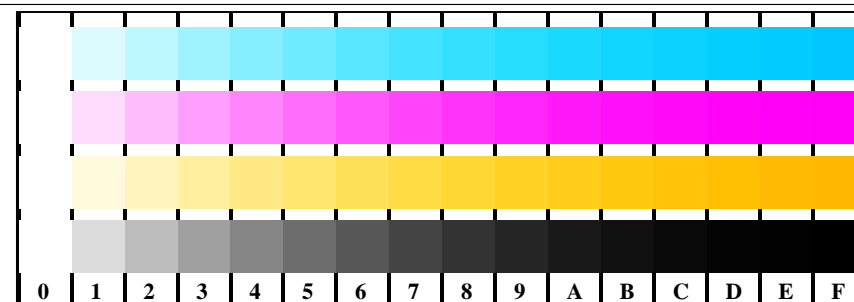
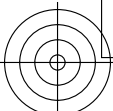
reticolli radiali W-C_e reticolli radiali W-M_e reticolli radiali W-J_e reticolli radiali W-N reticolli radiali W-Z

AI260-5, Fig. B2Wde: reticolli radiali W-C_e; W-M_e; W-J_e; W-N; PS operator: `rgb->rgb_de setrgbcolor`



AI260-7, Fig. B3Wde: 14 prova colori CIE i 2 + 16 grigio passi (sf); `rgb/cmy0->rgb_de setrgbcolor`

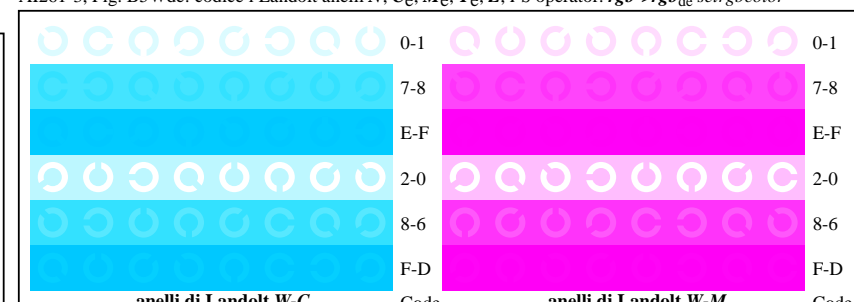
Grafico AI26 conformemente a grafico 2 a ISO/IEC 15775
 Tavola dei colori cromatici CMYK



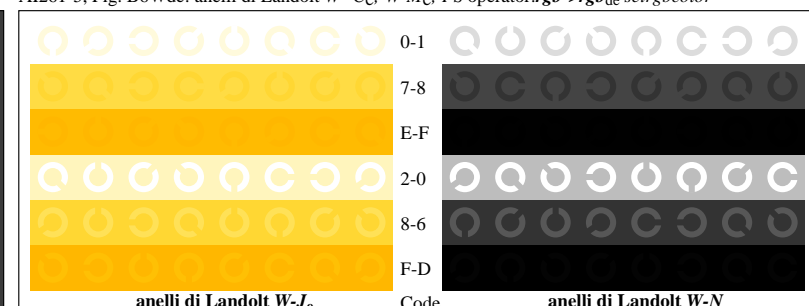
AI261-1, Fig. B4Wde: 16 equidistante passi W-C_e; W-M_e; W-J_e; W-N; `rgb/cmy0->rgb_de setrgbcolor`

++..	C	O	O	O	O	lmno	C	O	O	O	O	pqr	O	O	O	O	tuvw	O	O	O	O		
xyz;	C	O	O	O	O	hijk	C	O	O	O	O	lmno	C	O	O	O	lmno	O	O	O	O		
tuvw	C	O	O	O	O	defg	C	O	O	O	O	hijk	C	O	O	O	hijk	O	O	O	O		
pqrs	C	O	O	O	O	!abc	C	O	O	O	O	defg	C	O	O	O	defg	O	O	O	O		
lmno	C	O	O	O	O	+-.	C	O	O	O	O	!abc	C	O	O	O	!abc	O	O	O	O		
hijk	C	O	O	O	O	xyz;	C	O	O	O	O	xyz;	C	O	O	O	xyz;	O	O	O	O		
defg	C	O	O	O	O	tuvw	C	O	O	O	O	tuvw	C	O	O	O	tuvw	O	O	O	O		
!abc	C	O	O	O	O	pqrs	C	O	O	O	O	pqrs	C	O	O	O	pqrs	O	O	O	O		
10	N	C _e	M _e	Y _e	Z	10	N	C _e	M _e	Y _e	Z	6	N	C _e	M _e	Y _e	Z	4	N	C _e	M _e	Y _e	Z

AI261-3, Fig. B5Wde: codice i Landolt anelli N; C_e; M_e; Y_e; Z; PS operator: `rgb->rgb_de setrgbcolor`



AI261-5, Fig. B6Wde: anelli di Landolt W-C_e; W-M_e; PS operator: `rgb->rgb_de setrgbcolor`



AI261-7, Fig. B7Wde: anelli di Landolt W-J_e; W-N; PS operator: `rgb->rgb_de setrgbcolor`

Input: `rgb/cmy0/000n/w set...`
 Output: `->rgb_de setrgbcolor`